Л. М. Останин

ПЕРЕПАД ДАВЛЕНИЯ ОДНОФАЗНОГО ПОТОКА В ВИХРЕВЫХ УСТРОЙСТВАХ С ТАНГЕНЦИАЛЬНЫМИ ЗАВИХРИТЕЛЯМИ

Часть 3. Определение константы масштаба турбулентности и сравнение результатов расчёта с экспериментальными данными

Ключевые слова: аэродинамика, однофазный поток, гидравлическое сопротивление, вихревые контактные устройства, краевая задача, длина пути смешения.

Сформулирована краевая задача и получены аналитические формулы для расчёта окружной компоненты скорости и профиля давлений на основе уравнений Рейнольдса с использованием гипотезы Прандтля о длине пути смешения. При линейной аппроксимации радиальной скорости краевая задача решена с использованием метода Бубнова-Галёркина

Keywords: aerodynamics, single-phase stream, hydraulic resistance, vortical contact devices, regional problem, length of a way of mixture.

The regional problem is stated and analytical formulas for calculation district components of speed and a structure of pressure on the basis of Reynolds's equations with use of hypothesis Prandtlja about length of a way of mixture are received. At linear approximation of radial speed the regional problem is solved with use of method Bubnova-Galerkina.

Для определения константы C воспользуемся экспериментальными данными работы [1]. На рис. 1 приведена зависимость разрежения $\frac{P}{cW^2}$ в вихревом потоке при r=0,1 от соотношения конструктивных коэффициентов $KY \frac{A}{K^2}$ (линия 1).

Сопоставляя расчётные данные с экспериментальными получаем зависимость константы масштаба турбулентности от коэффициента B, представленного на этом же рисунке (прямая 2). Таким образом, увеличение коэффициента B приводит к существенному уменьшению этой константы и уменьшению масштаба турбулентности.

На рис. 2 представлено изменение окружной компоненты скорости V_{φ} по радиусу вихревого потока. Из графика видно, что расчетные данные удовлетворительно согласуются с экспериментом.

Профиль давлений в вихревом устройстве для различных коэффициентов крутки представлен на рис. 3. Графики иллюстрируют существенное влияние коэффициента крутки на профиль давлений: увеличение A в 1,768 раза приводит к увеличению разрежения на оси в три раза.

Проверим вышеупомянутую гипотезу о равенстве давлений $\ensuremath{\mathsf{DP}} = P(r_m).$

На рис. 4 прямая 1 описывает изменение $\mbox{ДP} = \mbox{P}(\mbox{r}_{m})$ вихревого потока при изменении $\mbox{P}(\mbox{0})$. Прямая рассчитана при изменении параметра N от 25 до 1667. На этом же рисунке нанесены экспериментальные данные для тринадцати

конструкций ВКУ различной геометрии.

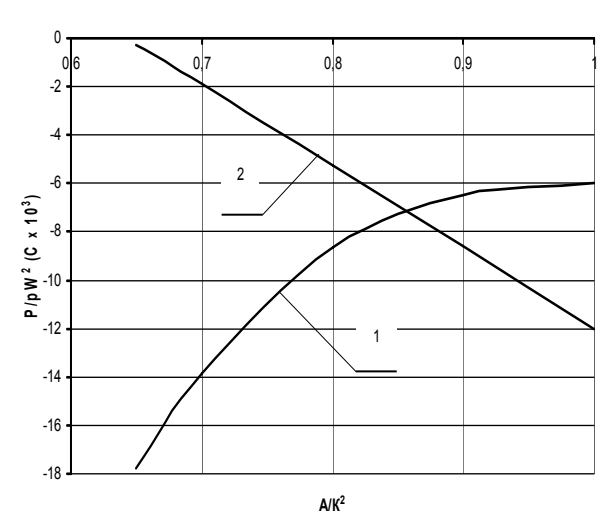
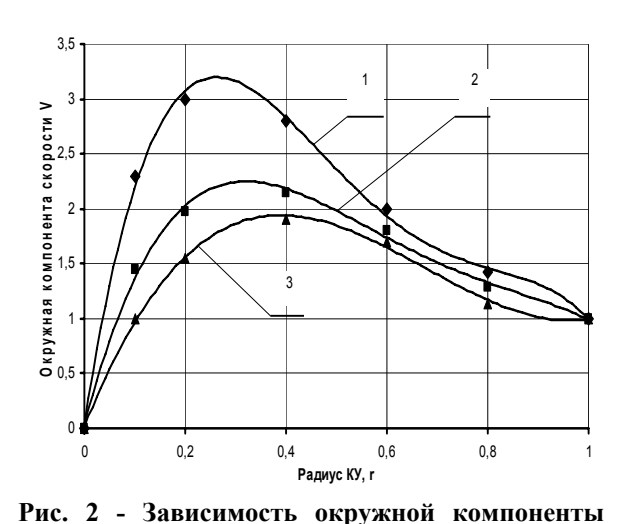


Рис. 1 - Зависимость разрежения в вихревом потоке $\frac{P}{cW^2}$ (r=0,1) по данным работы [1] (кривая 1) и константы масштаба турбулентности C (прямая 2) от коэффициента $B=0,1\frac{A}{\kappa^2}$

Из рисунка видно, что гипотеза о равенстве давлений $\mbox{ДP} = \mbox{P}(\mbox{r}_m)$ хорошо работает для конструкций с небольшим отношением коэффициентов $\mbox{A/K}^2 \leq 0,42$ и неприемлема для расчета вихревых устройств, когда это соотношение больше 0,46. Тем не менее, существенным является то, что отношение давлений $\mbox{P}(0)/\mbox{Д} \cdot \mbox{P}$ для определенного типа конструкций есть величина постоянная (прямые 2-4).



скорости V_{φ} от радиуса контактного устройства Γ : 1 - A = 1,768 K = 1,6 C = 1.8 10^{-3} . 2 - A = 1.408 K = 1.3 C = 5.8 10^{-3} .

 $C = 1,8 \cdot 10^{-3}, 2 - A = 1,408 \quad K = 1,3 \quad C = 5,8 \cdot 10^{-3}, 3 - A = 1,01 \quad K = 1,0 \quad C = 12 \cdot 10^{-3} \quad \text{Точки} - 3 \text{ точки} - 3 \text{ точки}$



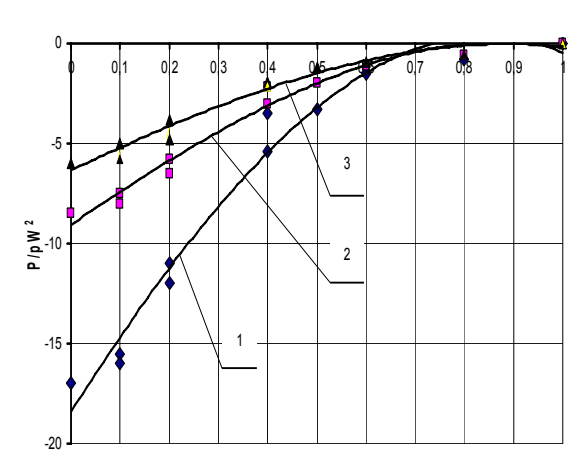


Рис. 3 - Профиль давлений в контактном устройстве при различных коэффициентах крутки A: 1 - A = 1,768 K = 1,6, 2 - A = 1,408 K = 1,3, 3 - A = 1,01 K = 1,0 Точки - нанесены экспериментальные данные [1]

Конструктивные параметры исследованных контактных устройств приведены в [2].

Для составления методики расчета гидравлического сопротивления вихревых устройств результаты эксперимента, приведенные на рис. 4 представим в виде зависимости $\frac{P(0)}{\Delta P} = f(A/K^2),$ которая изображена на рис. 5. Из графика следует, что

$$\frac{P(0)}{DP} = \begin{cases} 2,35;0,32 \le \frac{A}{K^2} \le 0,42 \\ 2,94;0,46 \le \frac{A}{K^2} \le 0,78 \\ 3,6;0,88 \le \frac{A}{K^2} \le 0,94 \\ 4,79;1,16 \le \frac{A}{K^2} \le 1,5 \end{cases}$$
 (22)

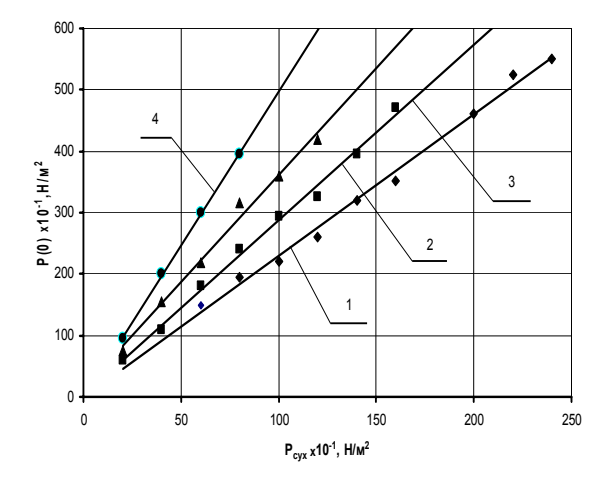


Рис. 4 - Взаимосвязь разрежения на оси КУ P(0) и гидравлического сопротивления $ДP_{cyx}$: 1 - $0.32 \le \frac{A}{K^2} \le 0.42$; 2 - $0.46 \le \frac{A}{K^2} \le 0.78$; 3 - $0.88 \le \frac{A}{K^2} \le 0.94$; 4 - $1.16 \le \frac{A}{K^2} \le 1.5$

Из экспериментальных данных (22) [2] следует, что для исследованных вихревых устройств соотношение A/K^2 выступает как параметр устойчивости. При увеличении A или уменьшении K происходит радикальное перераспределение функций тока «катастрофическим» образом. При этом, как следует из рис. 2, 3 и результатов работы [3], распределения $V_{\varphi}(r)$ и P(r) являются устойчивыми к возмущениям параметра A/K^2 .

При дополнении построенной теории эмпирическими соотношениями (22) методика расчёта гидравлического сопротивления неорошаемого ВКУ является законченной.

Методика расчёта сопротивления неорошаемого ВКУ заключается в следующем: по заданным значениям параметра A/K^2 из графика 2 рис. 1 определяют константу длины смешения C и вычисляют значение параметра $N=0,1A/cK^2$. Из графика 1 рис. 1 определяют разрежение на оси вихревого потока и по формуле (25) рассчитывают ΔP .

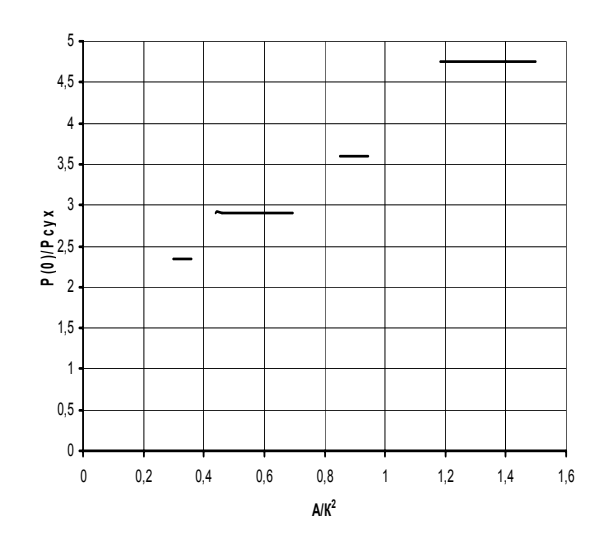


Рис. 5 - Зависимость отношения давления на оси КУ к сопротивлению контактного устройства $\frac{P(0)}{\Lambda P}$ от параметра крутки A/K^2

Выводы

При значениях параметра $\frac{A}{K^2} \le 0,42$ результаты теоретических исследований могут быть

расчёта

для

использованы

сопротивления ВКУ. При значениях параметра $\frac{A}{K^2} \ge 0,46$ для расчёта гидравлического сопротивления ДР результаты теоретических исследований необходимо дополнить эмпирическими соотношениями (25).

Литература

- 1. Шамсутдинов, А. М. Исследование турбулентного потока несжимаемой жидкости при плоском осевом стоке / А. М. Шамсутдинов, В. Е. Паймикин. // Гидродинамика одно- и двухфазных систем: Сб. Трудов ИТ СО АН СССР. Новосибирск, 1982. С. 9 13.
- 2. Останин, Л. М. Методы интенсификации работы вихревых контактных устройств / Л. М. Останин. // Вестник Казанского технол. ун-та. Казань, 2010. N11. С. 71 75.
- 3. Гольдштик, М. А. Вихревые потоки / М. А. Гольдштик. Новосибирск. : Наука, 1996. 357 с.

гидравлического

[©] **Л. М. Останин** – доц. каф. оборудование химических заводов КНИТУ, oxzkstu@rambler.ru; leonid2204@rambler.ru.